

Fig. 1

Fig. 2

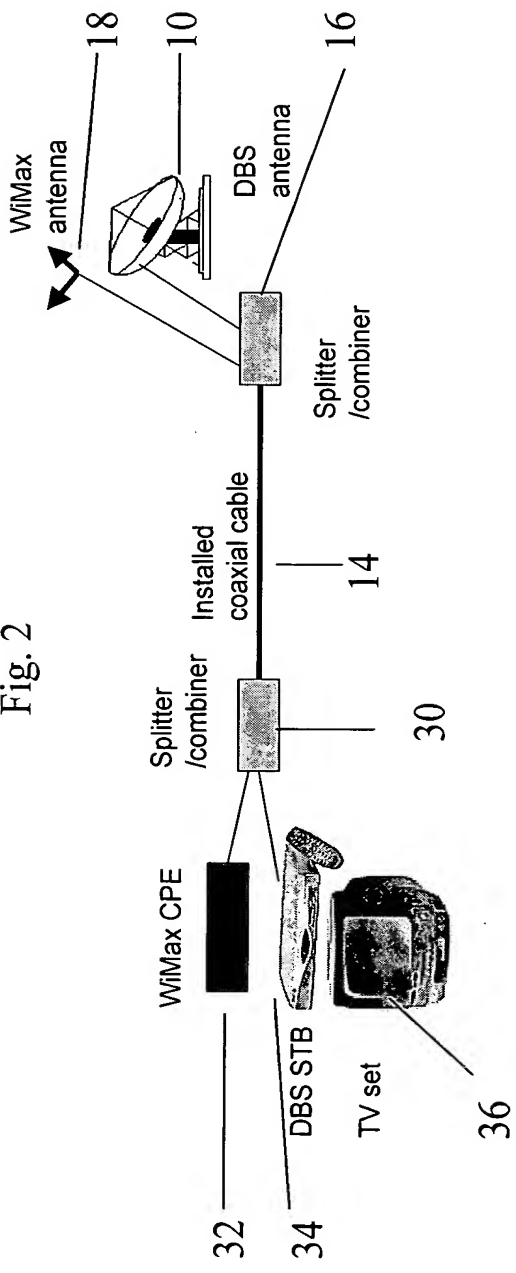
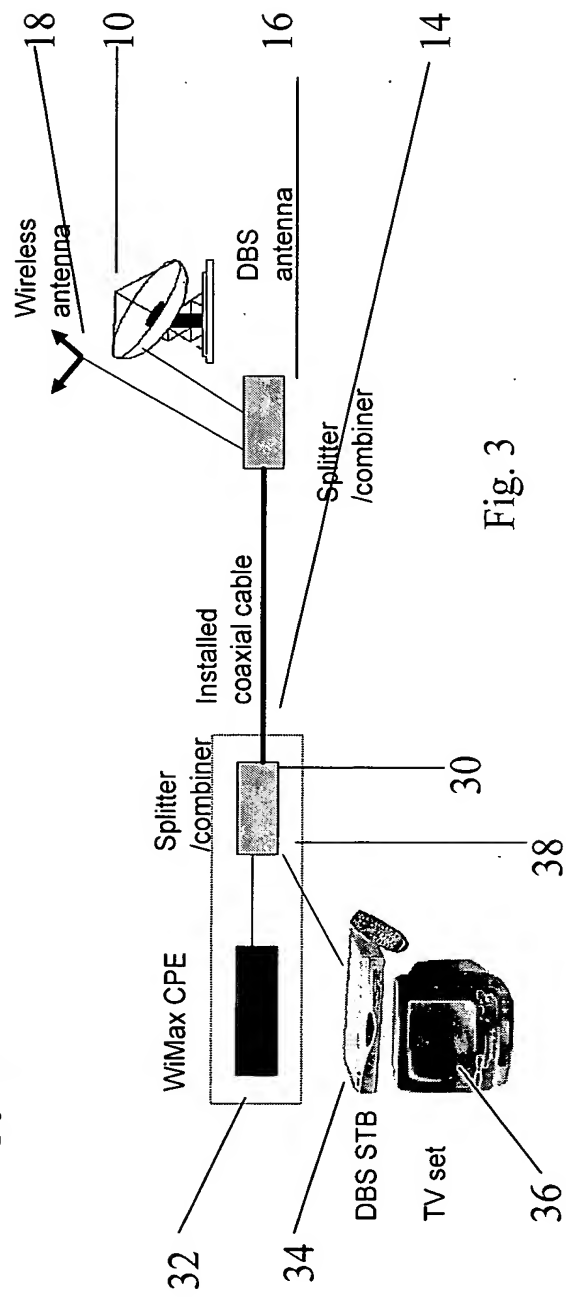


Fig. 3



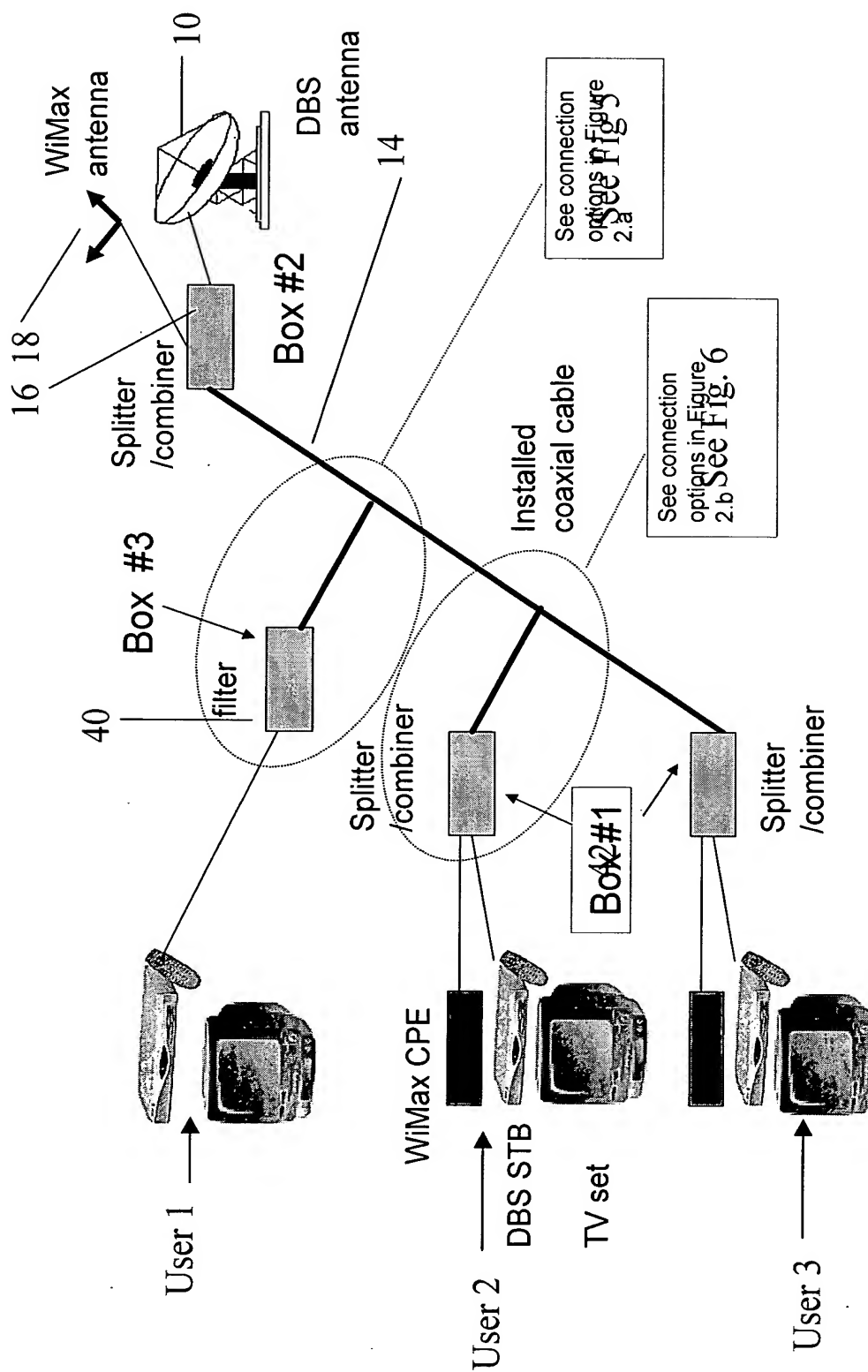
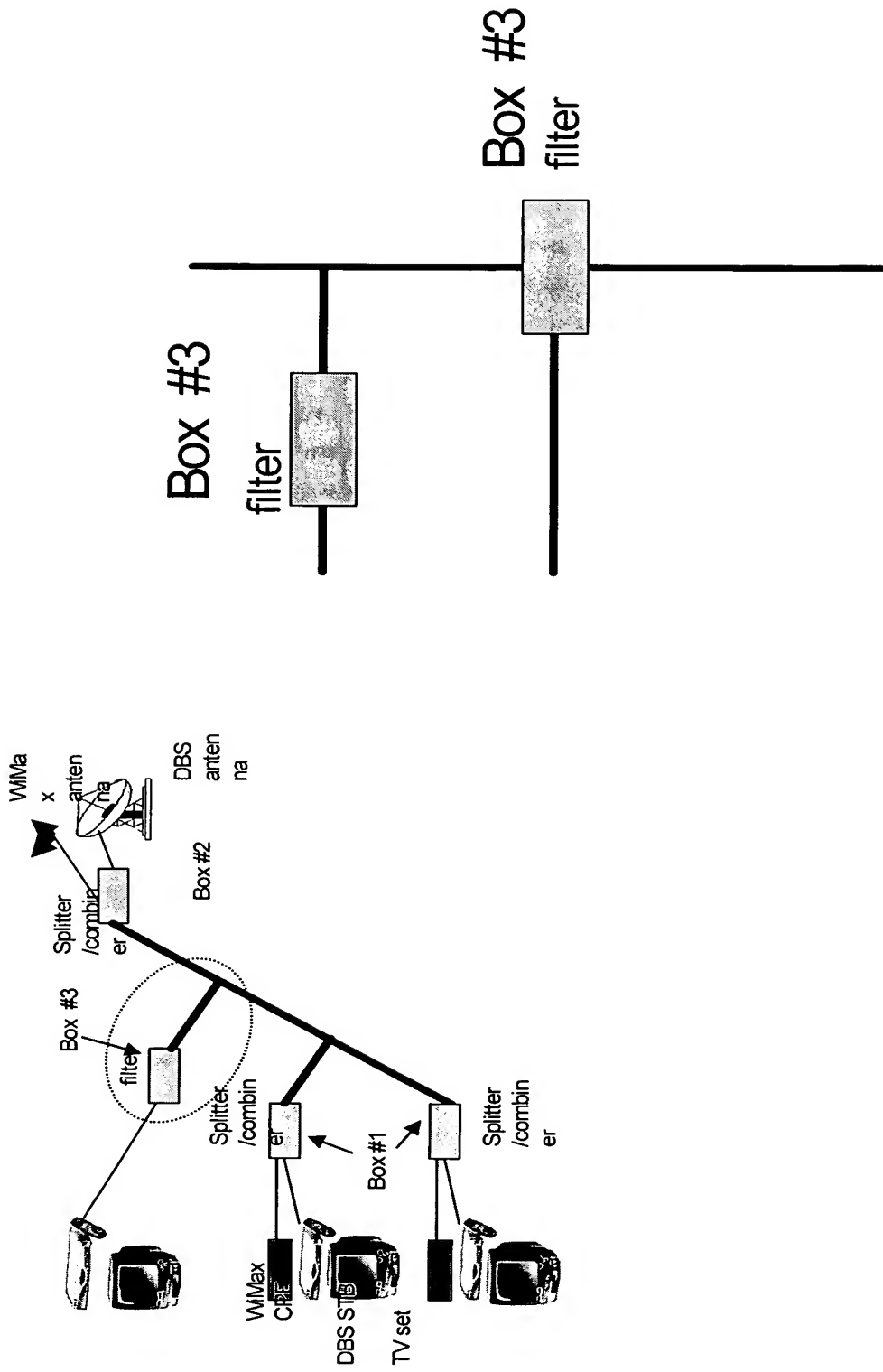


Fig. 4

Fig. 5



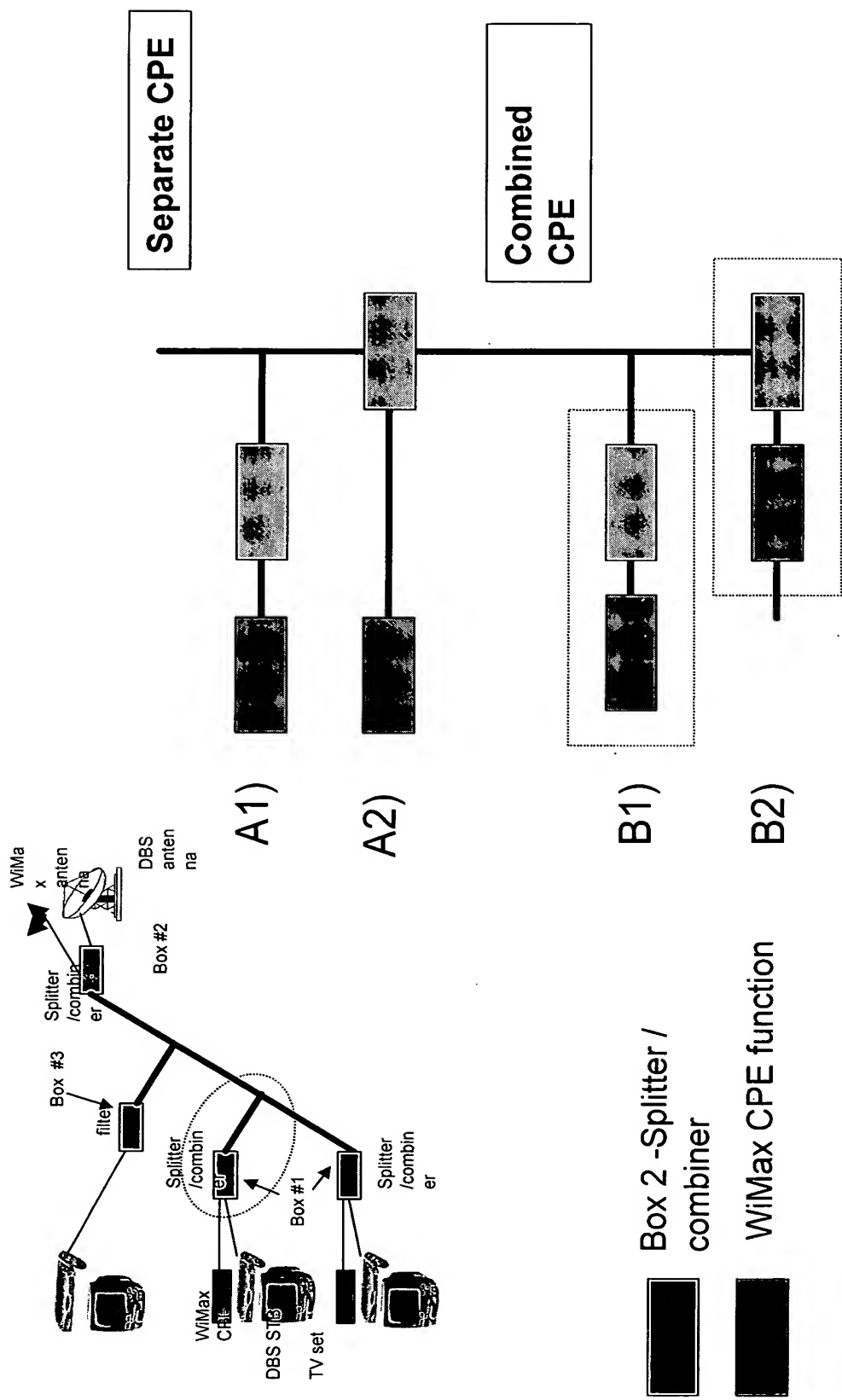


Fig. 6

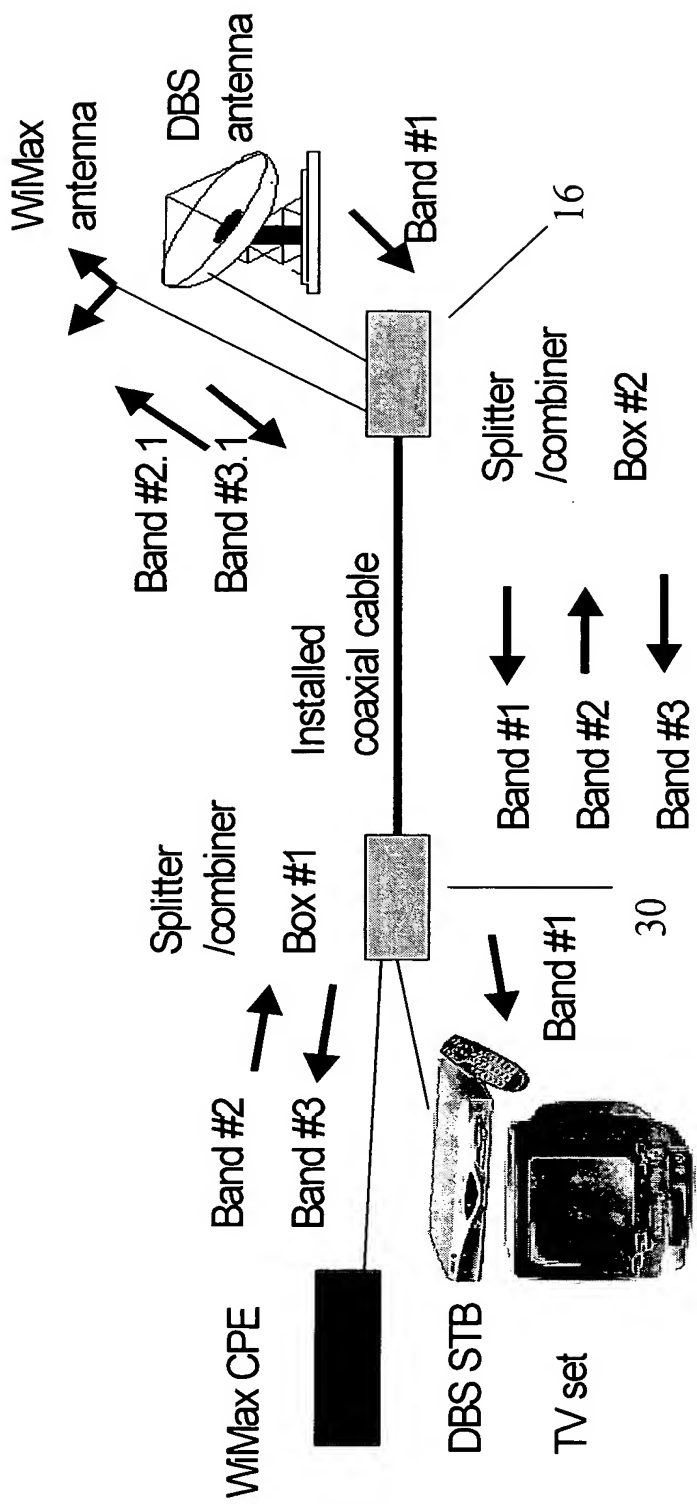


Fig. 7

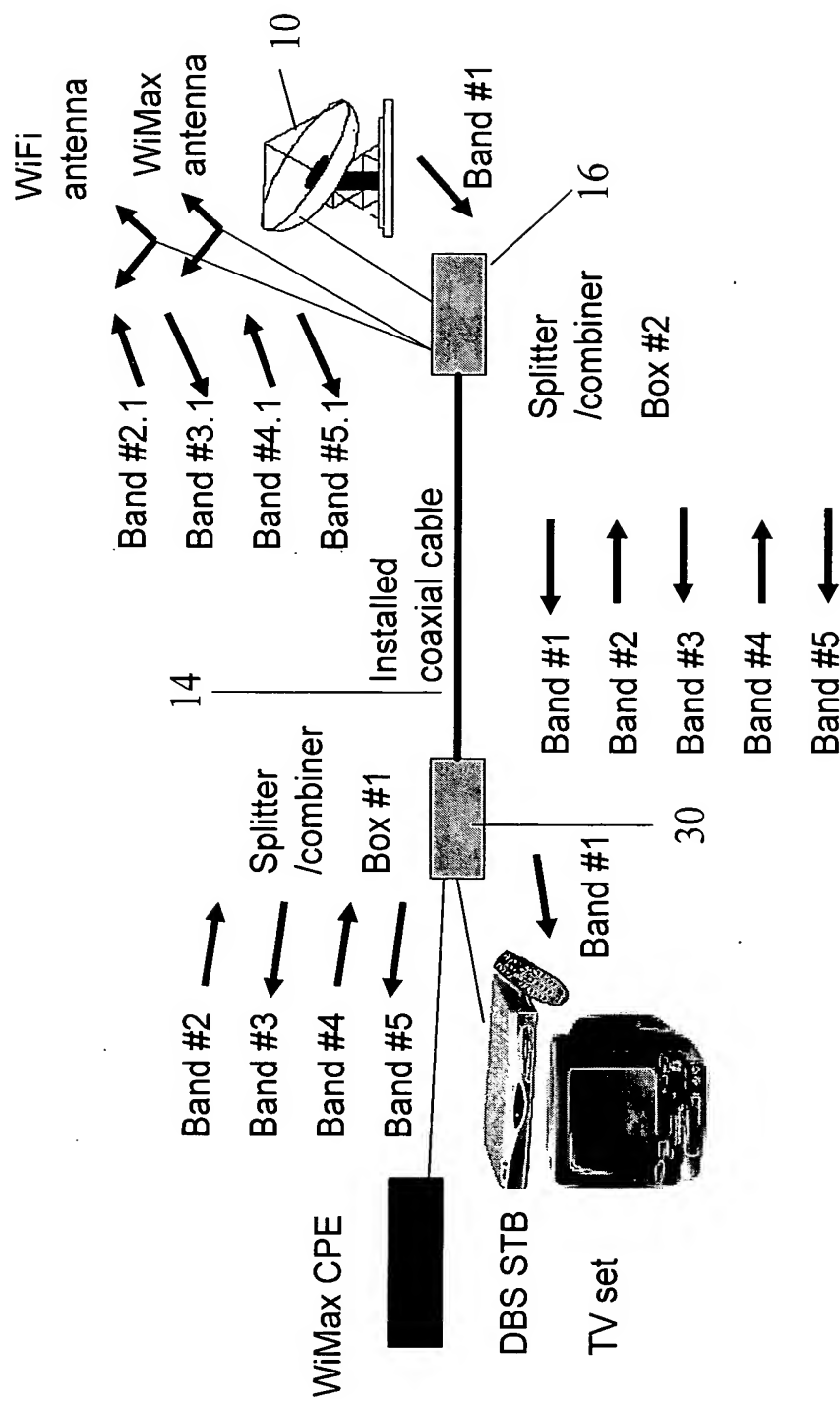


Fig. 8

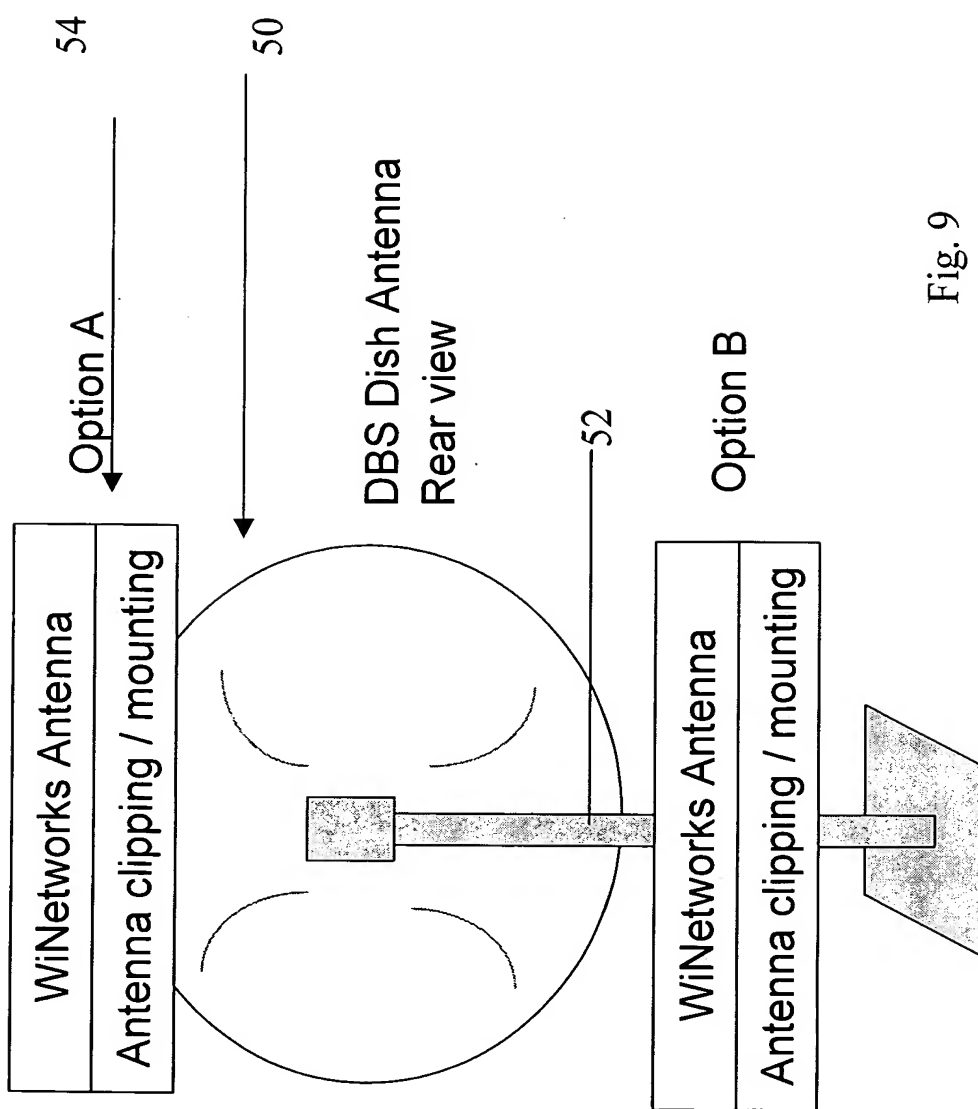


Fig. 9

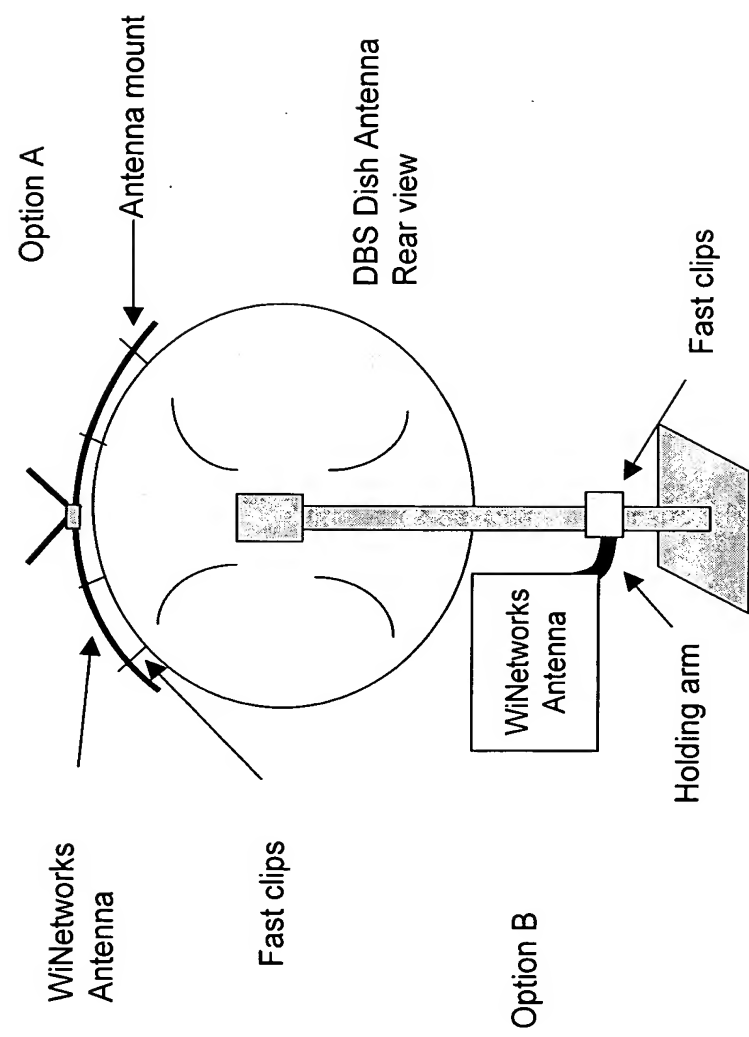


Fig. 10

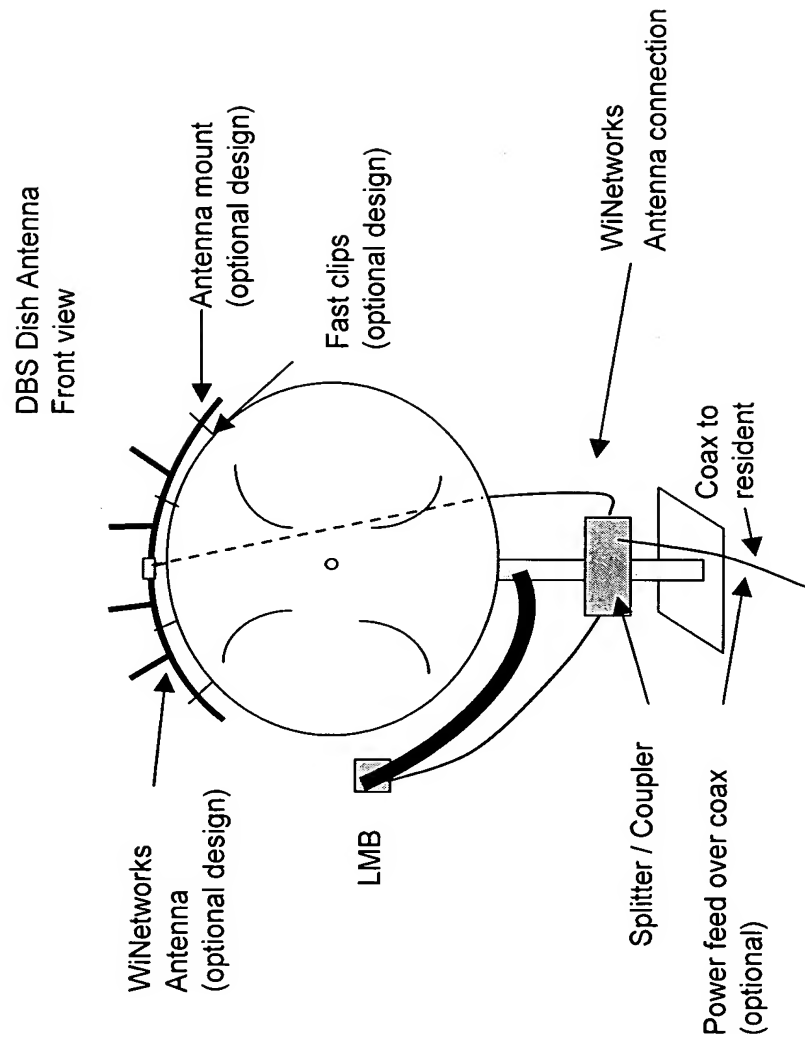


Fig. 11

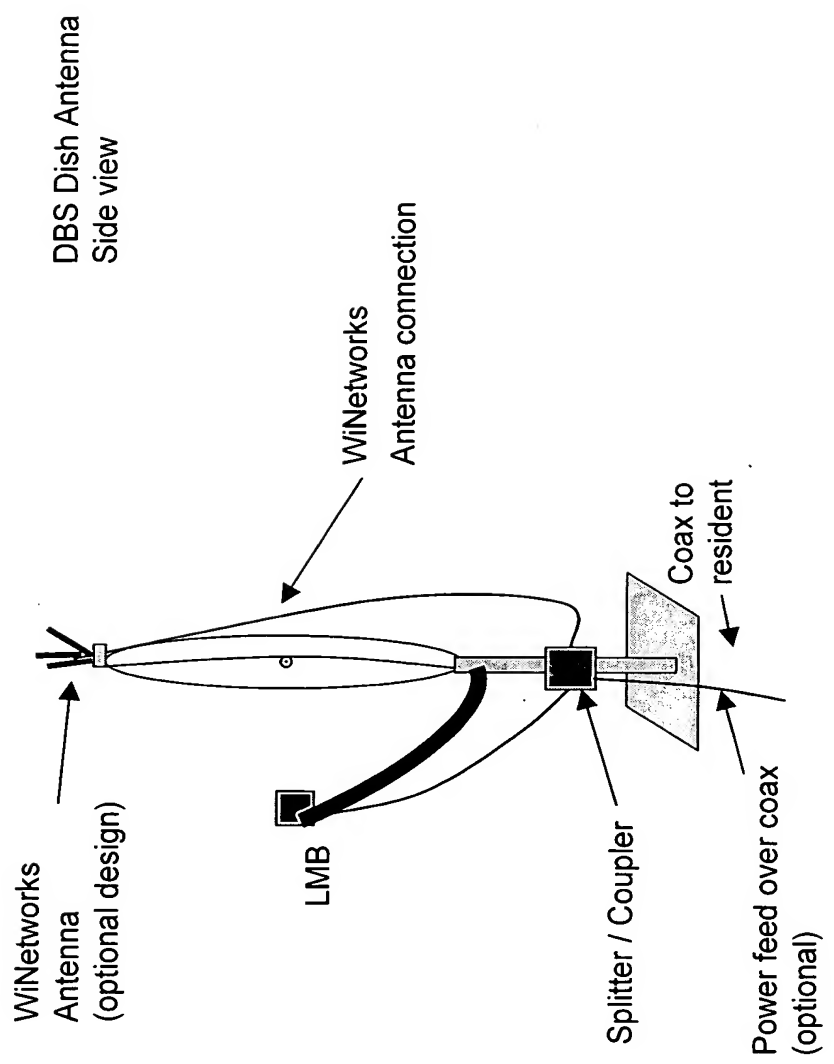
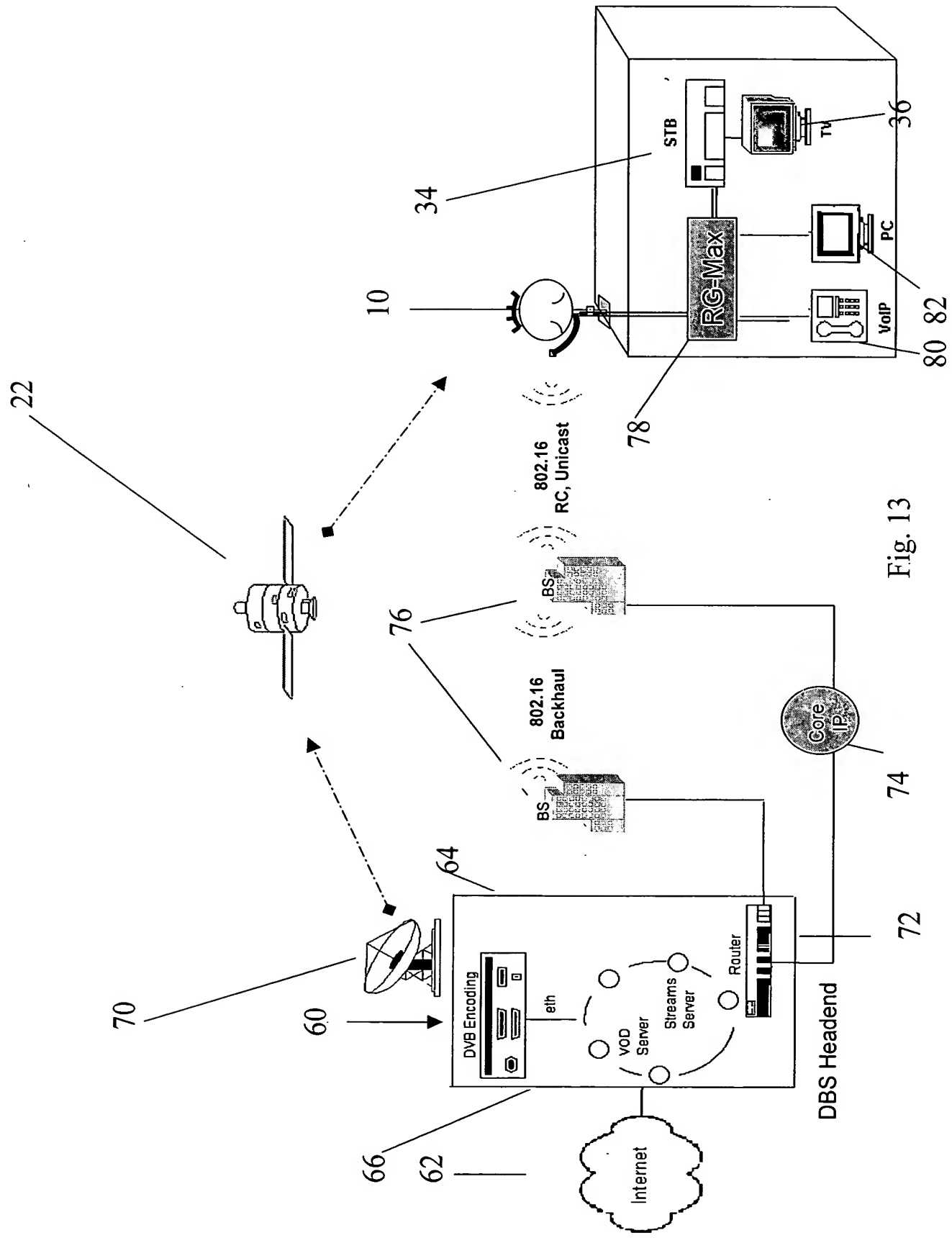


Fig. 12

Fig. 13



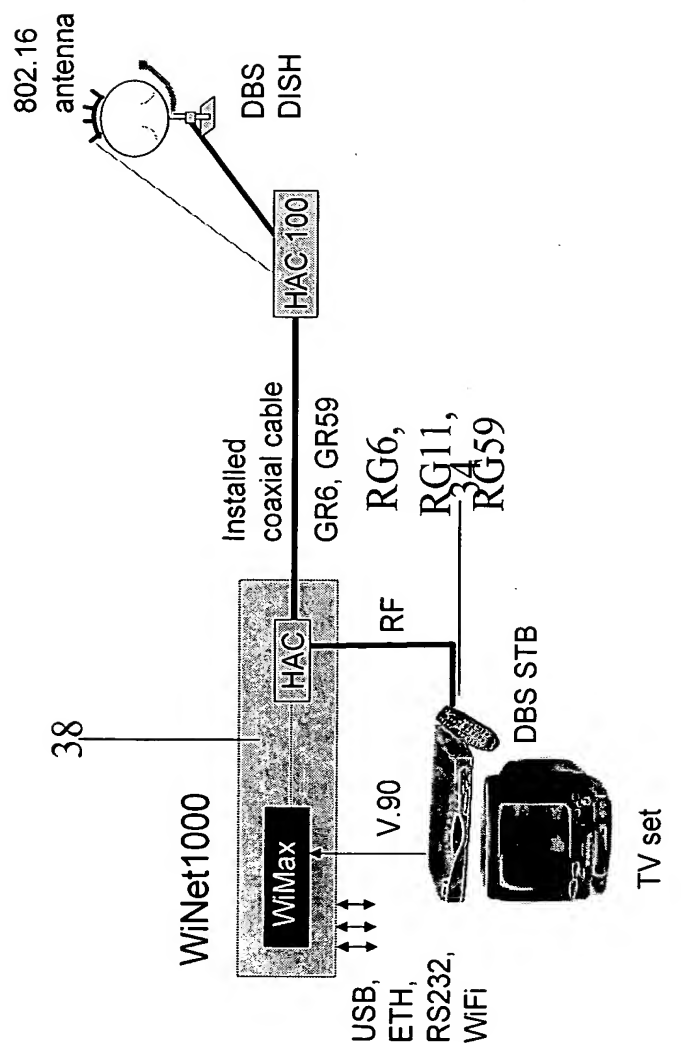


Fig. 14A

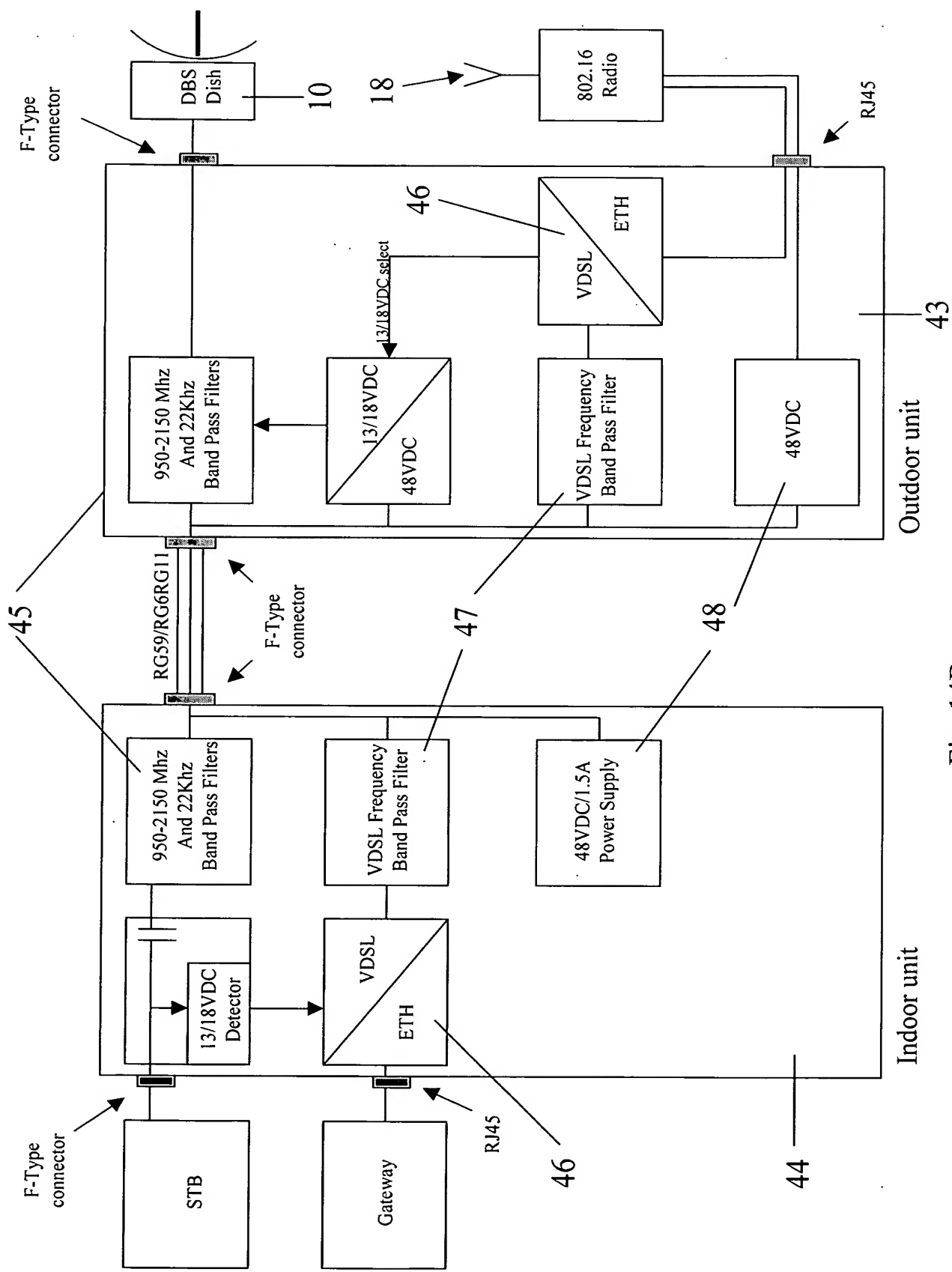


Fig. 14B

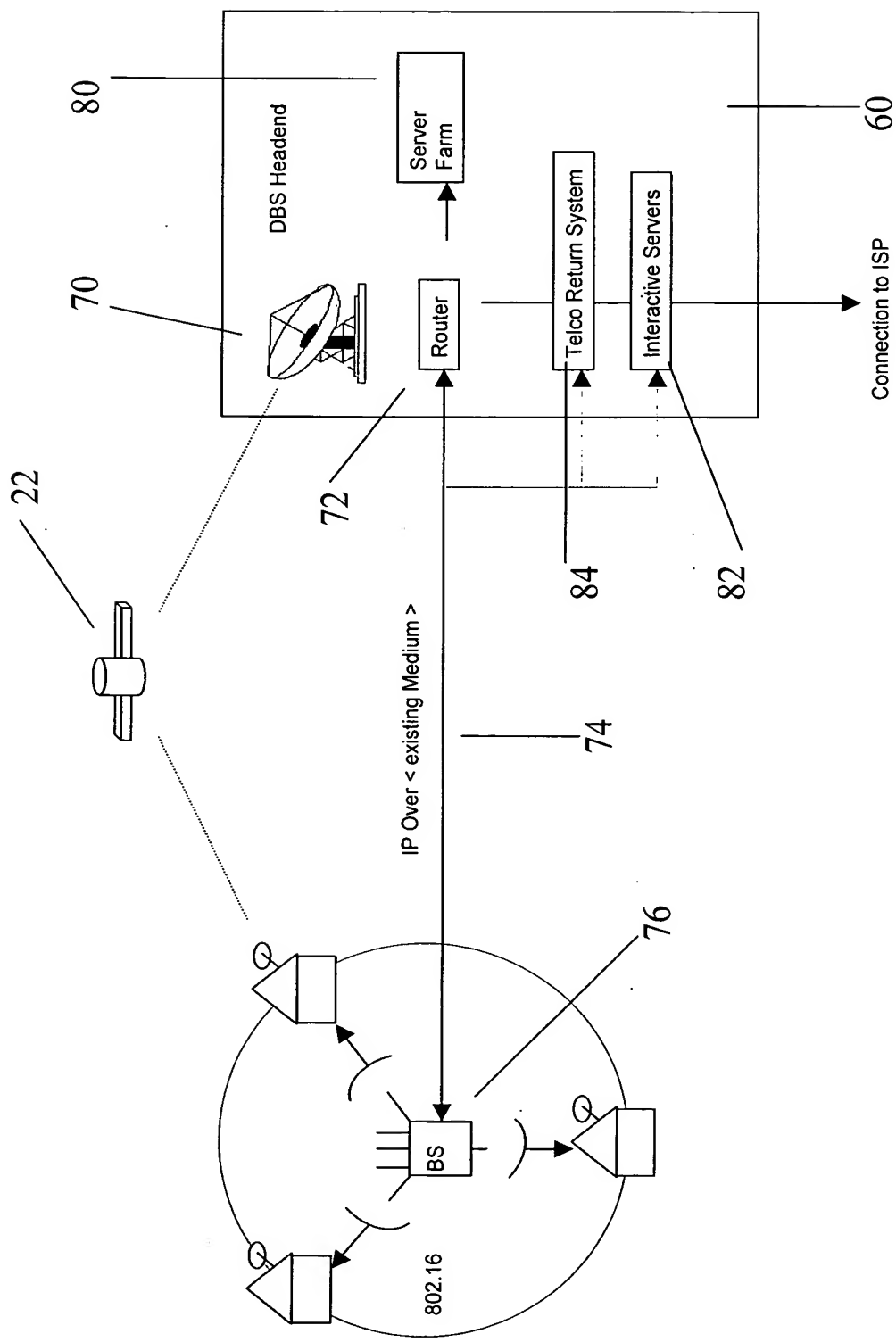
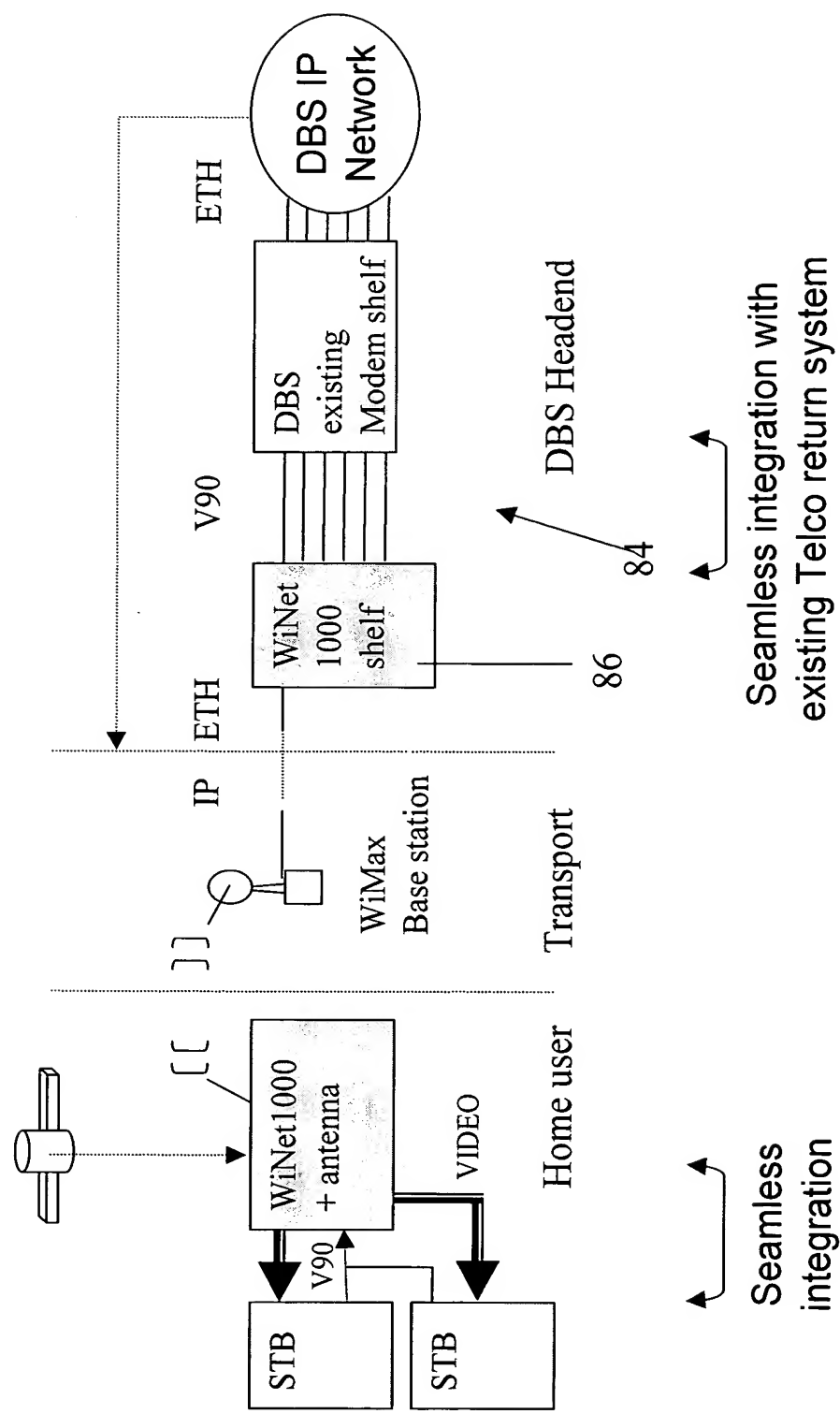


Fig. 15A

Fig. 15B



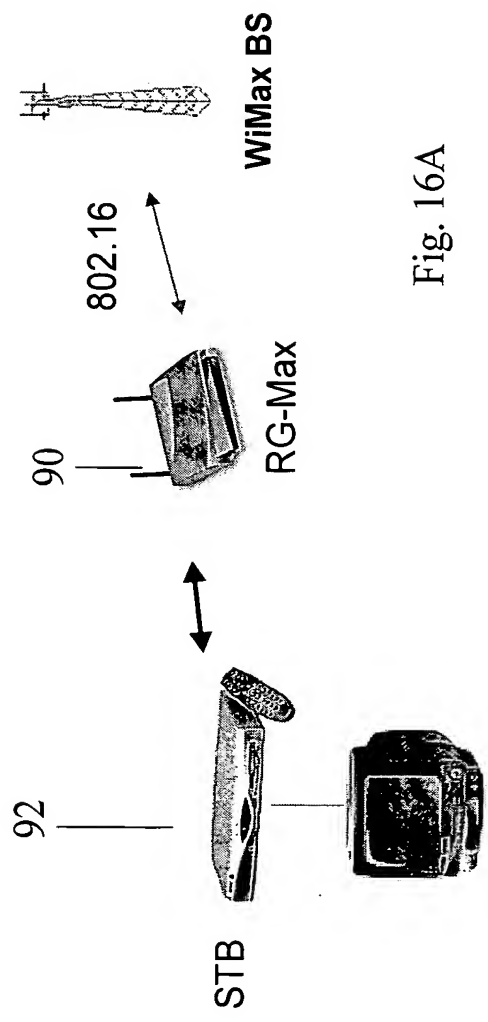


Fig. 16A

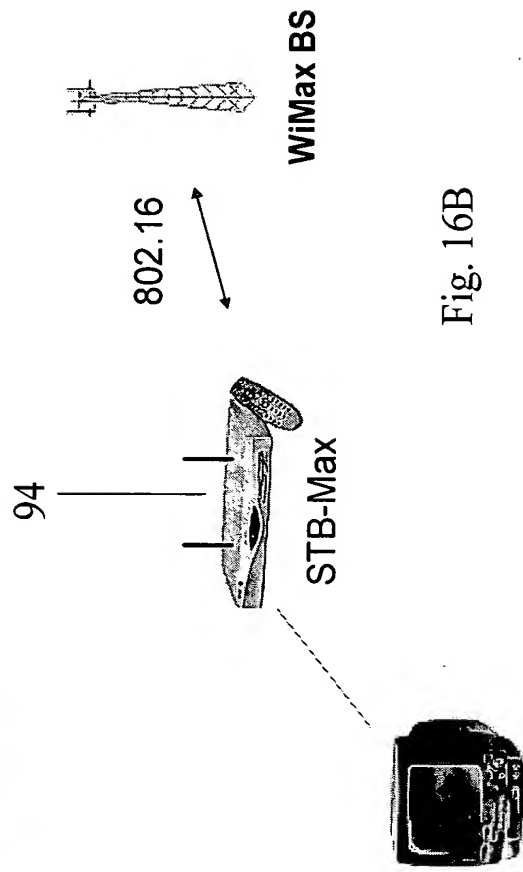


Fig. 16B

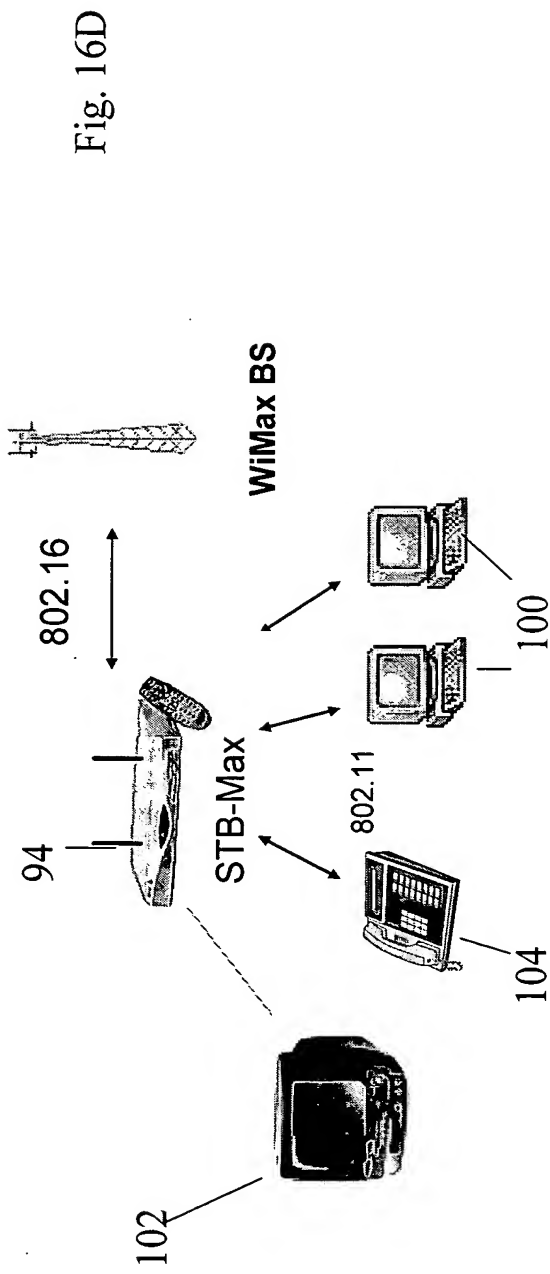
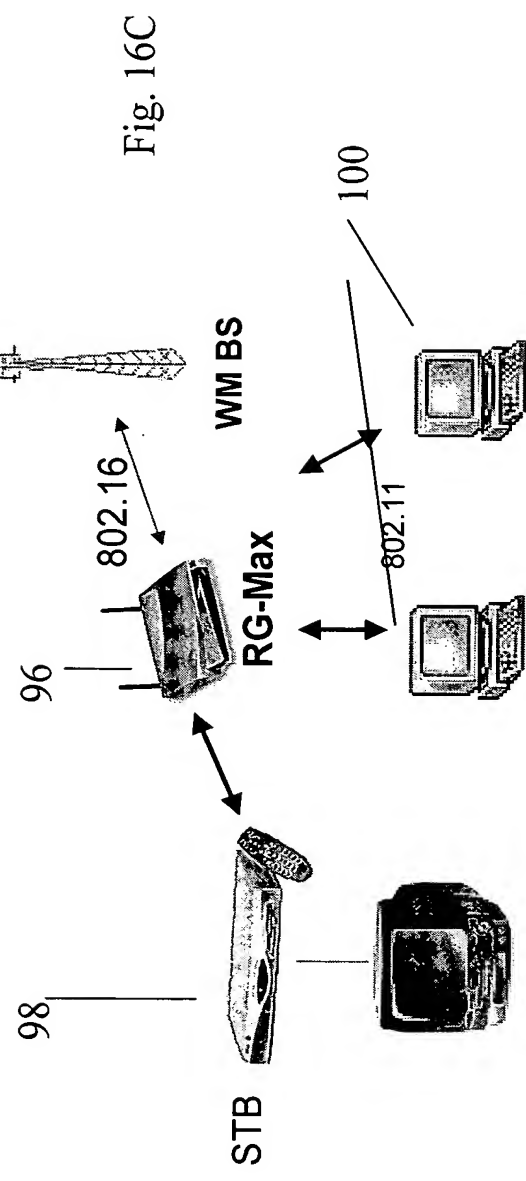
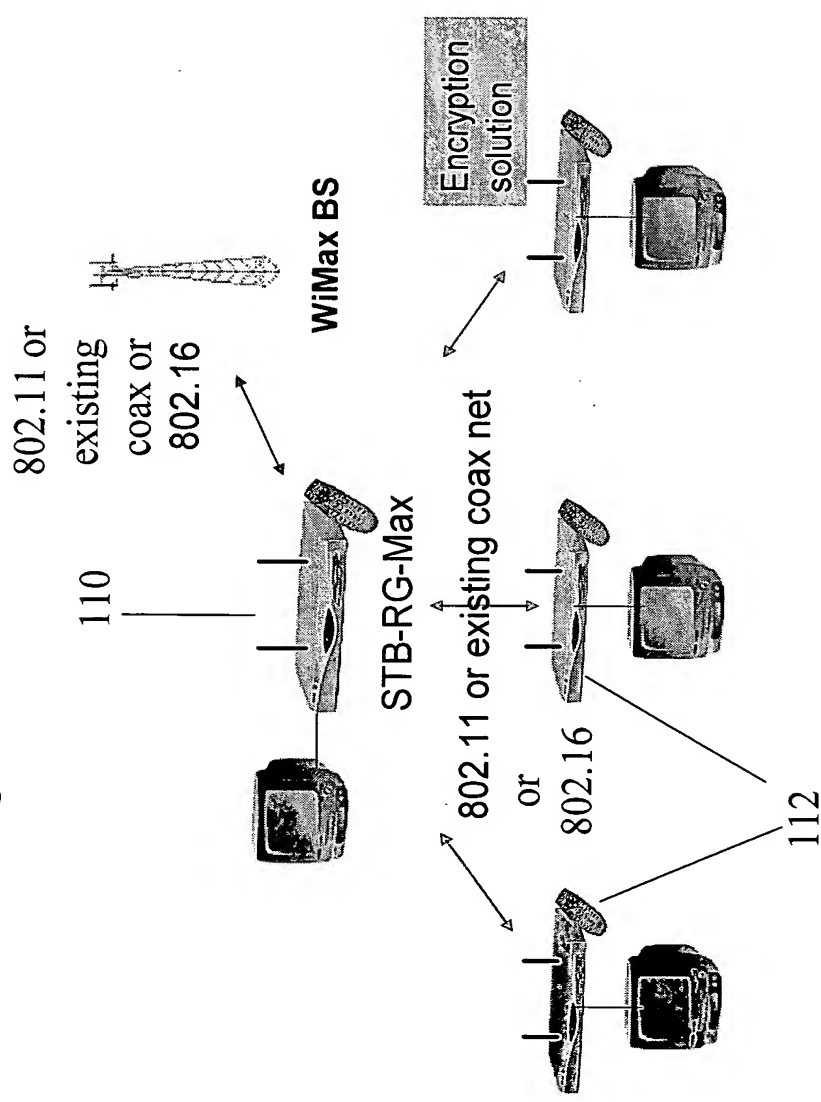


Fig. 16E



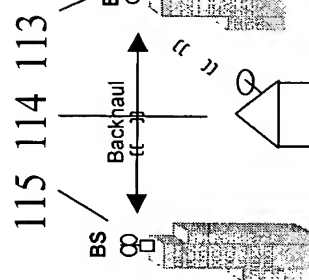


Fig. 17A

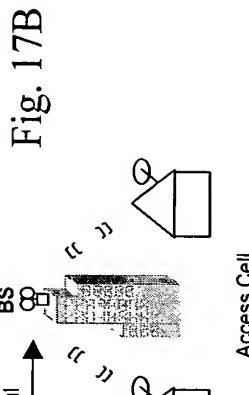


Fig. 17B

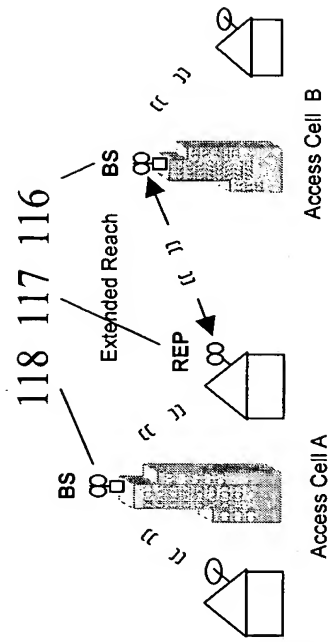


Fig. 17C

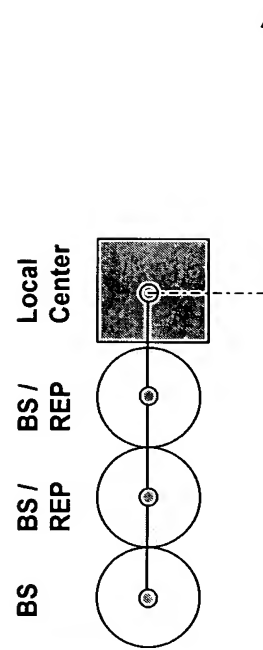
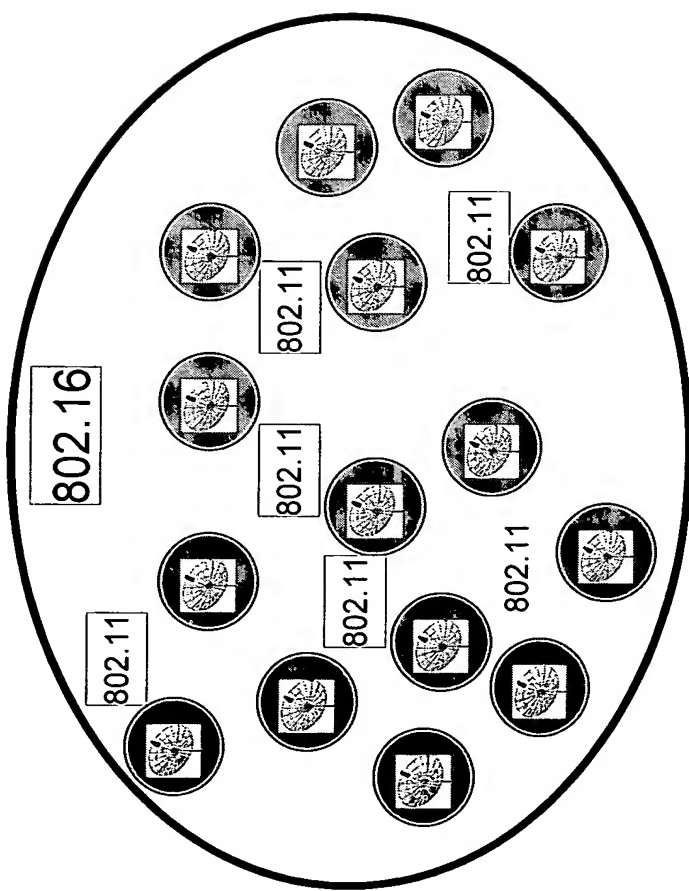


Fig. 17D

IP Over Terrestrial

Fig. 18



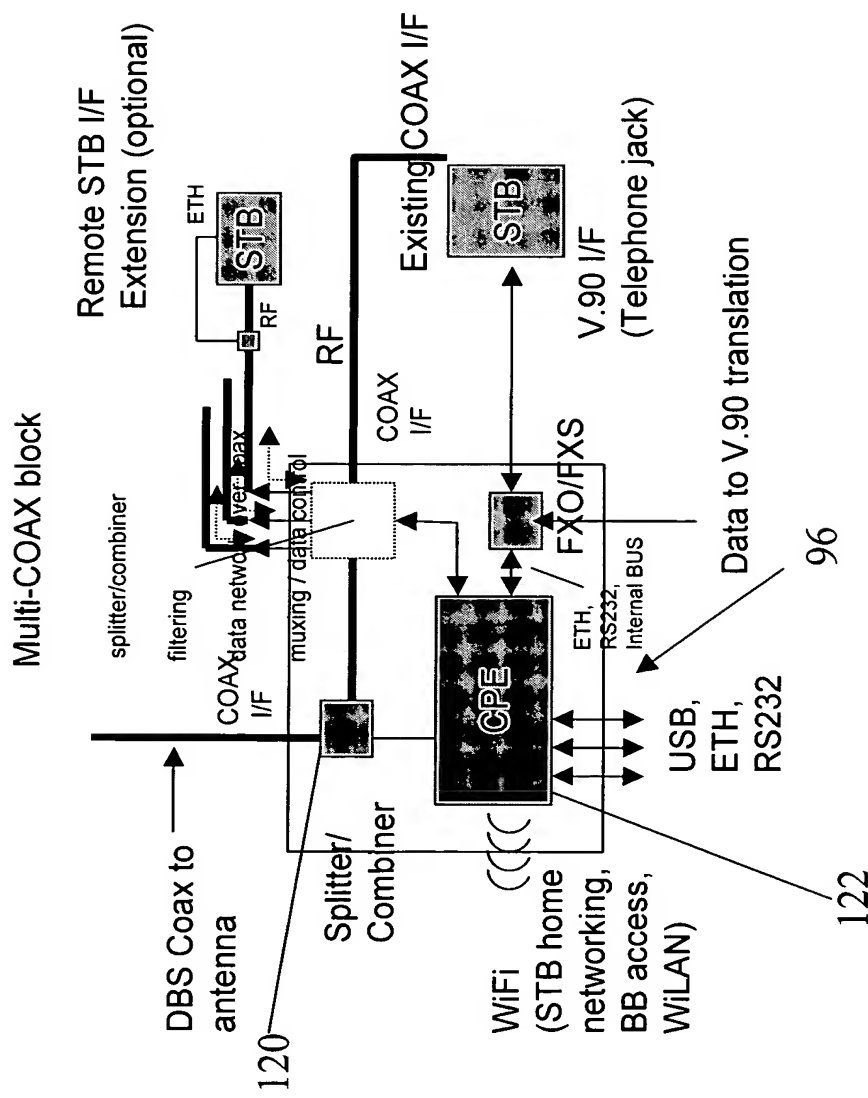
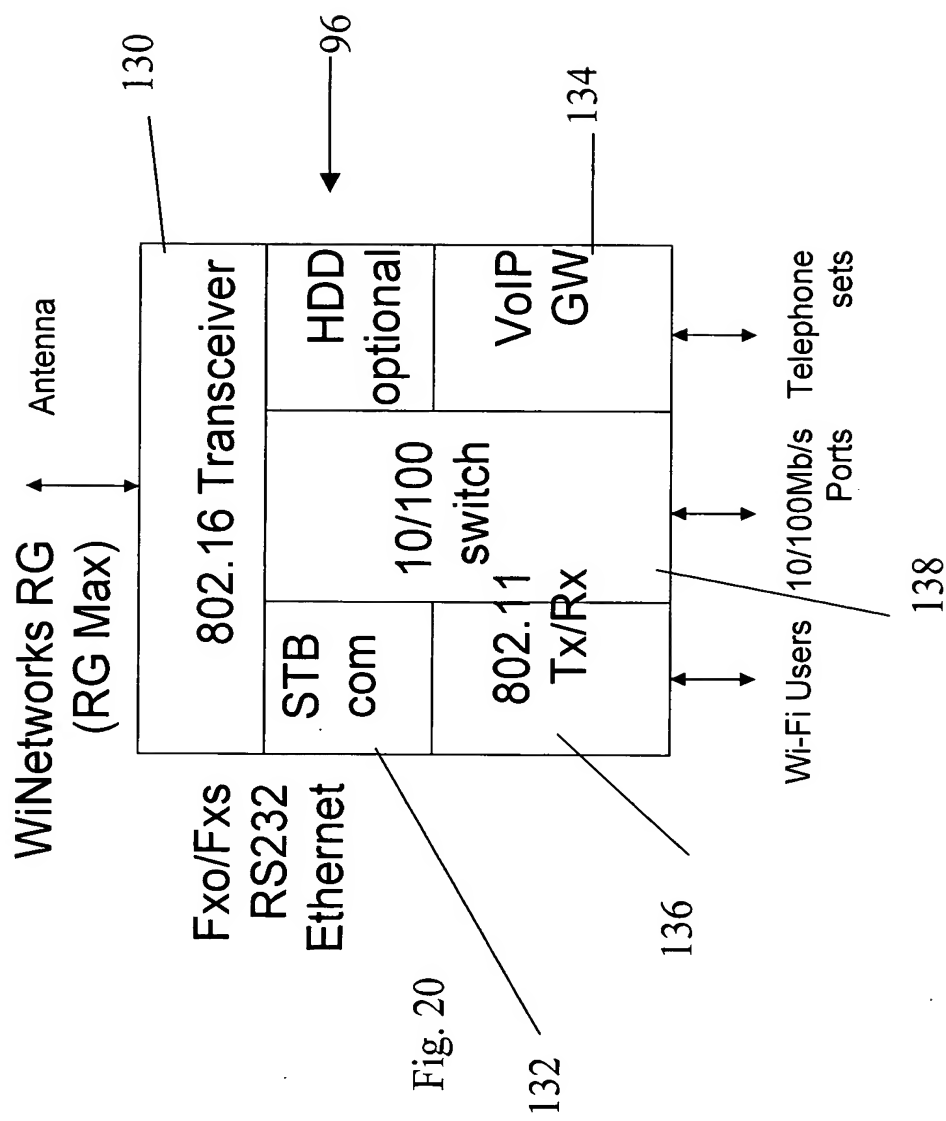


Fig. 19



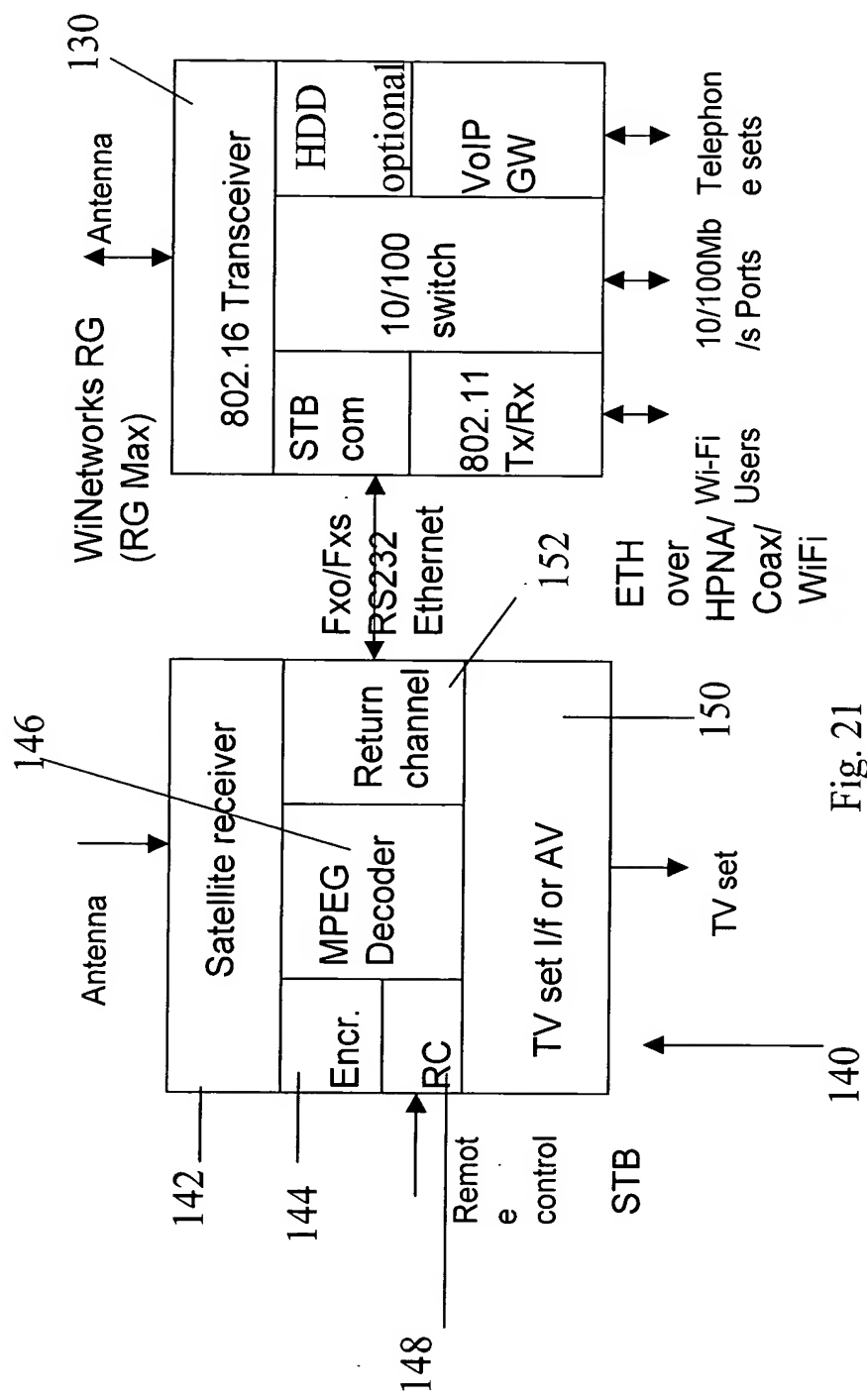


Fig. 21

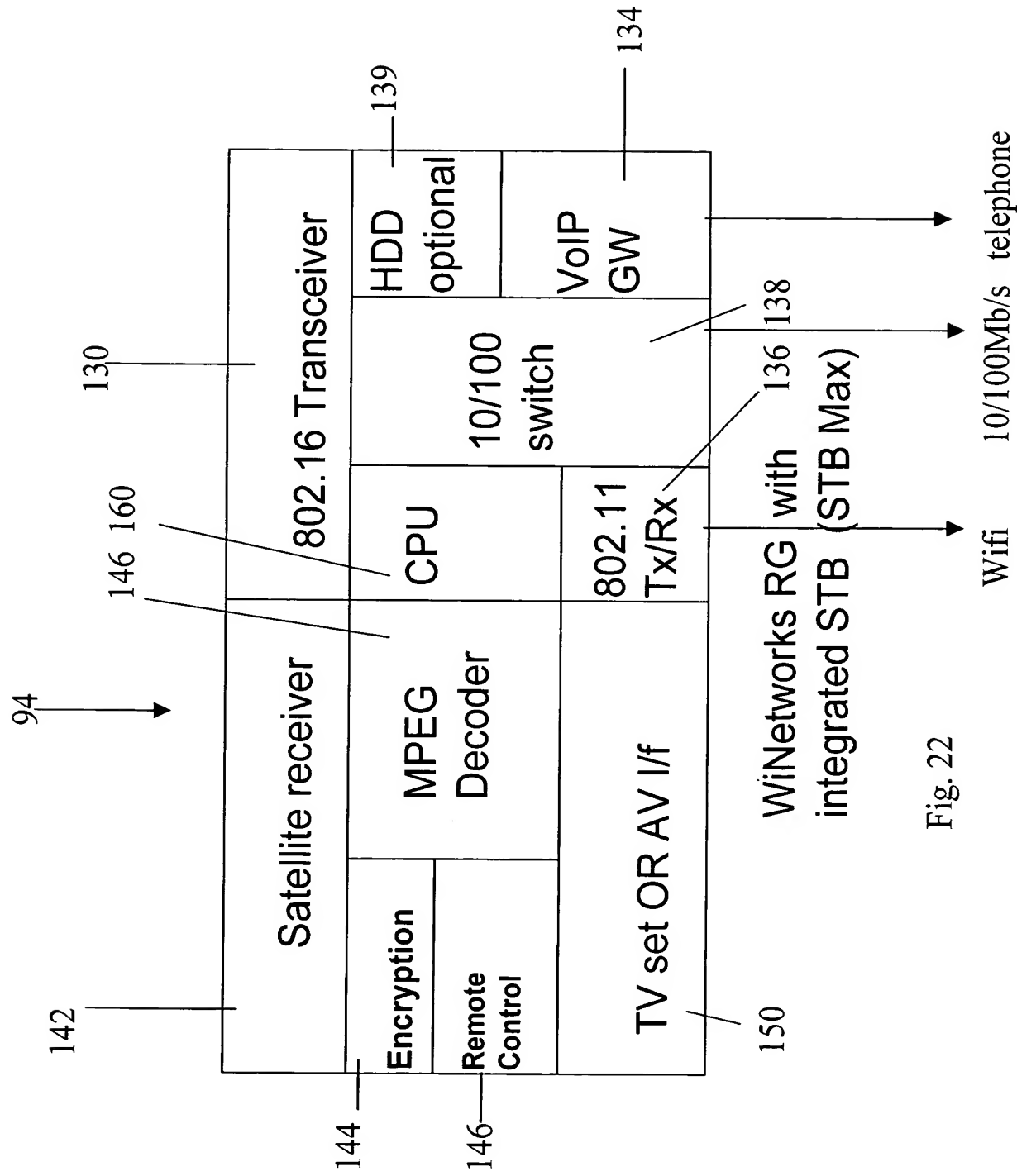


Fig. 22

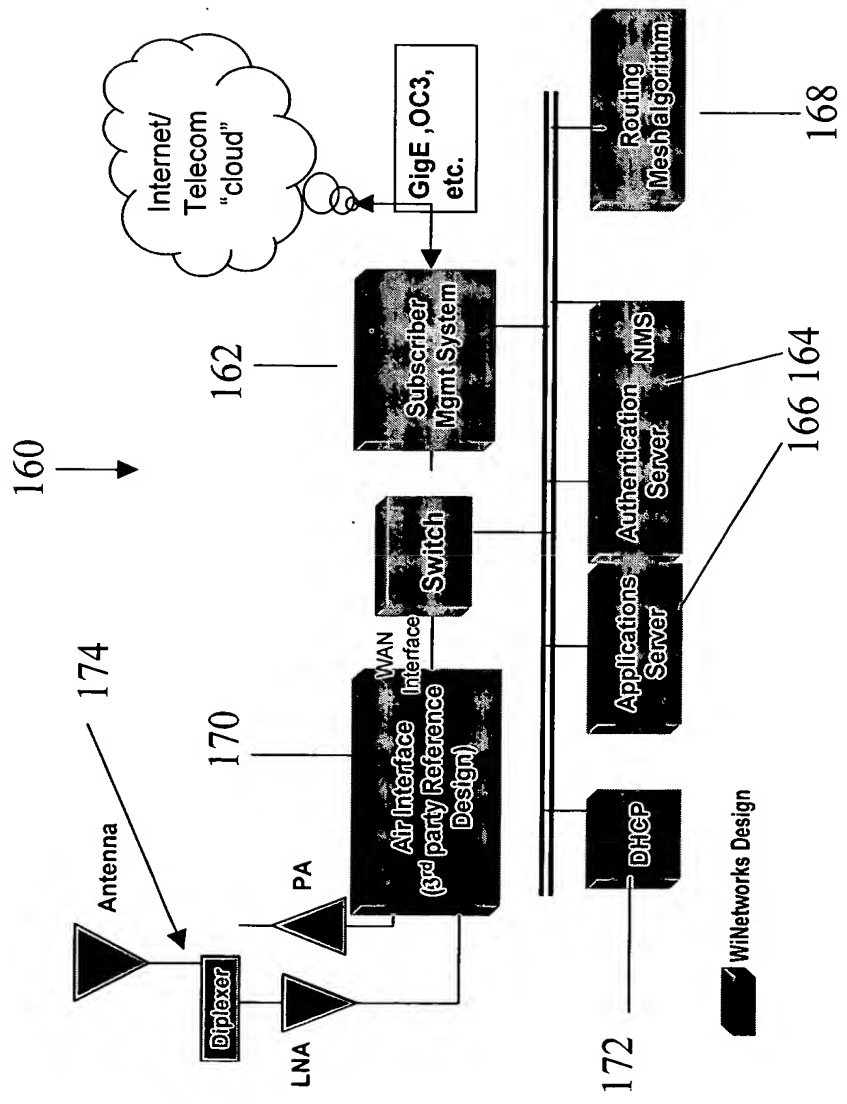


Fig. 23

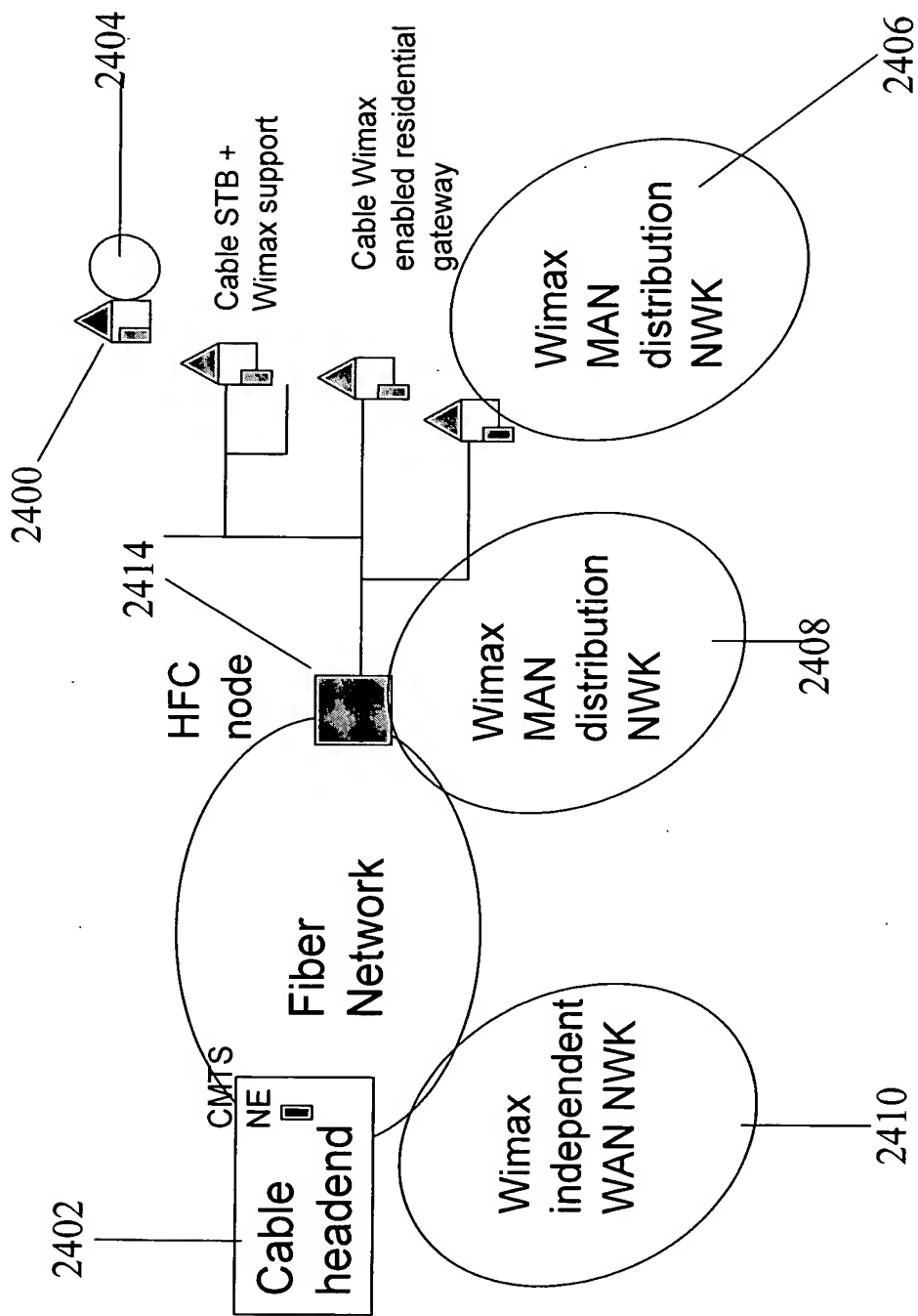


Fig. 24

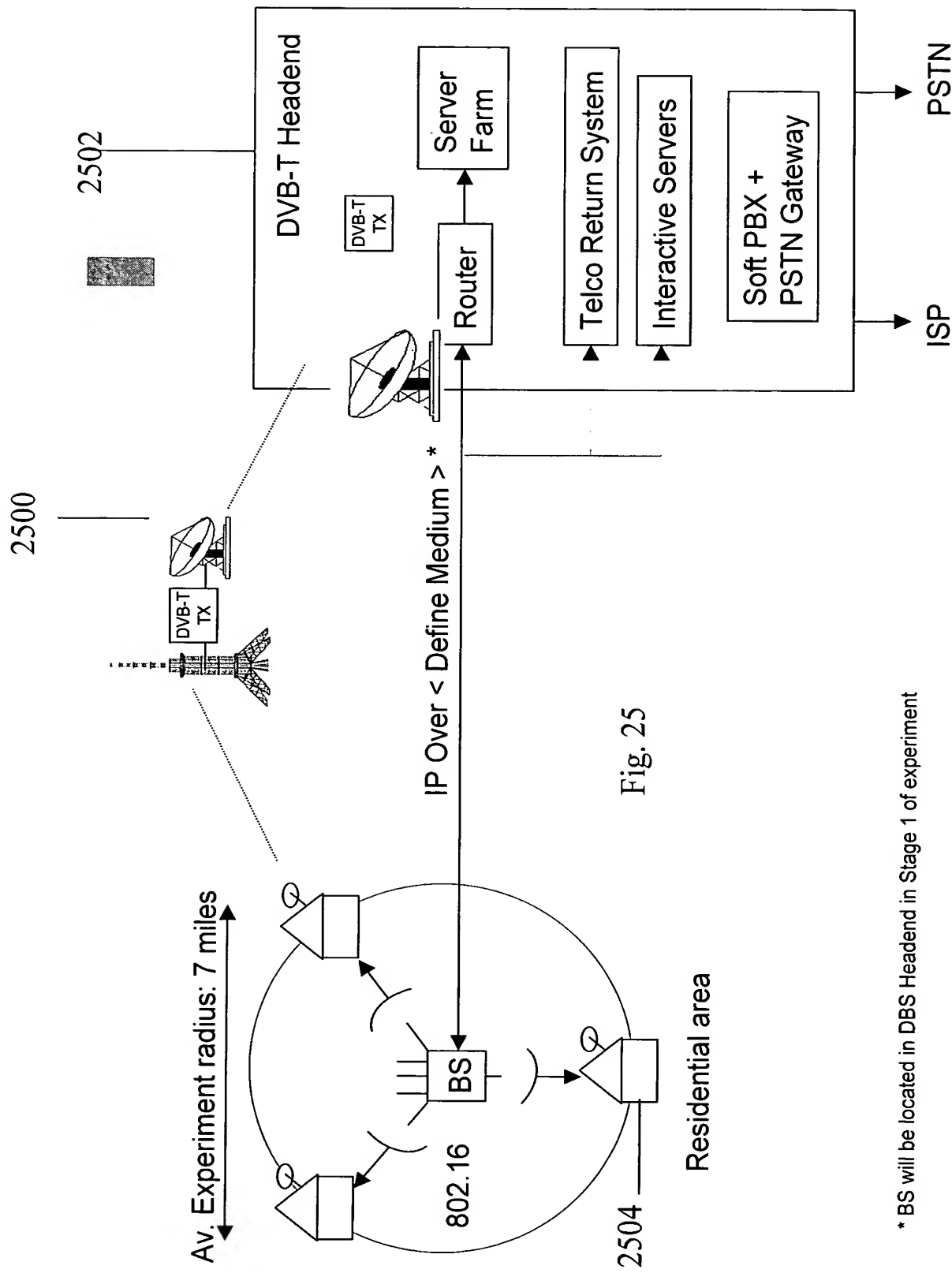


Fig. 26

